Учитывая гетеропереходный характер СЗГЗ общего типа в полупроводниках [2-6], поведение такого рода границ зерен с карбидно-оксидными преципитатами можно описать на основе медели зонной структуры, показанной на рис. 3. Согласно этой модели, структуру СЗГЗ можно качественно представить в виде гетероструктуры Si (зерно)—  $SiO_2 - SiC -$ металл («ядро» C3Г3) —  $SiC - SiO_2 - Si($  зерно). Пространственное разделение областей с преобладанием SiC либо  $SiO_2$  может быть обусловлено различием коэффициентов диффузии кислорода и углерода

Следуя [8], образование ловущек в карбиде кремния можно приписать атомам кремния с измененной координацией (возникающим, например, из-за наличия зернограничных дислокаций либо оборванных связей на границе раздела кремний—карбид). При этом естественно предположить наличие трех различных зарядовых состояний у таких дефектов в запрещенной зоне SiC (рис. 3, a). Нейтральный дефект  $D^0$ (оборванная связь атома кремния с одним электроном на ней) в этом случае располагается по энергии между заряженными дефектами D+ и D-. Отрицательно заряженный дефект D- с двумя электронами на оборванной связи кремния лежит в области энергий около потолка валентной зоны, тогда как положительно заряженное состояние D+ оборванной связи с двумя дырками находится вблизи дна зоны проводимости. При приложении напряжения поперек плоскости границы носители заряда могут туннелировать через включения SiC и  $SiO_2$ , захватываясь заряженными ловушками (рис. 3,  $\delta$ ). При захвате электрона (дырки) на центр D+ (D-) происходит переход дефекта D+(D-) в состояние D<sup>0</sup>. Увеличение концентрации нейтральных дефектов в результате туннельной релаксации заряда и объясняет релаксацию ВАХ в этой модели.

1. Артемьев А. В., Горелик С. С., Евтодий Б. Н. идр. // Изв. АН СССР. Сер. физ. 1988. Т. 52. С. 1951.
2. Артемьев А. В., Горелик С. С., Евтодий Б. Н. идр. // Препринт ИПТМ и ОМ АН СССР. Черноголовка, 1989. С. 32.
3. Fedotov A. K., Evtody B. N., Katz E. A., Ilyashuk Ju. M. // Phys. Stat. Solidi(a). 1990. V. 119. P. 523.
4. Fedotov A., Evtody B., Katz E. et al. // Journ. Cryst. Grouth. 1990. V. 104. P. 186.
5. Федотов А. К., Евтодий Б. Н., Кац Е. А., Ильяшук Ю. М. // Тез. докл. VII Всесоюз. конференции по физике полупроводников. 23—25 окт. 1990 г. Киев. 1990. Ч. 2. С. 267.
6. Ильяшук Ю. М., Федотов А. К. // Вестн. Белорус. ун-та. Сер. 1. 1990. № 3. С. 20.
7. Кац Е. А. Зеренная структура и электрическая активность границ зерен в профилированном поликристаллическом кремнии для фотопреобразователей. Пме кант

профилированном поликристаллическом кремнии для фотопреобразователей: Дис. ...канд. физ-мат. наук. М., 1990.

8. Селезнев В. Н. // Тр. физ. ин-та. им. П. Н. Лебедева. 1987. Т. 184. С. 90.

Поступила в редакцию 26.04.94.

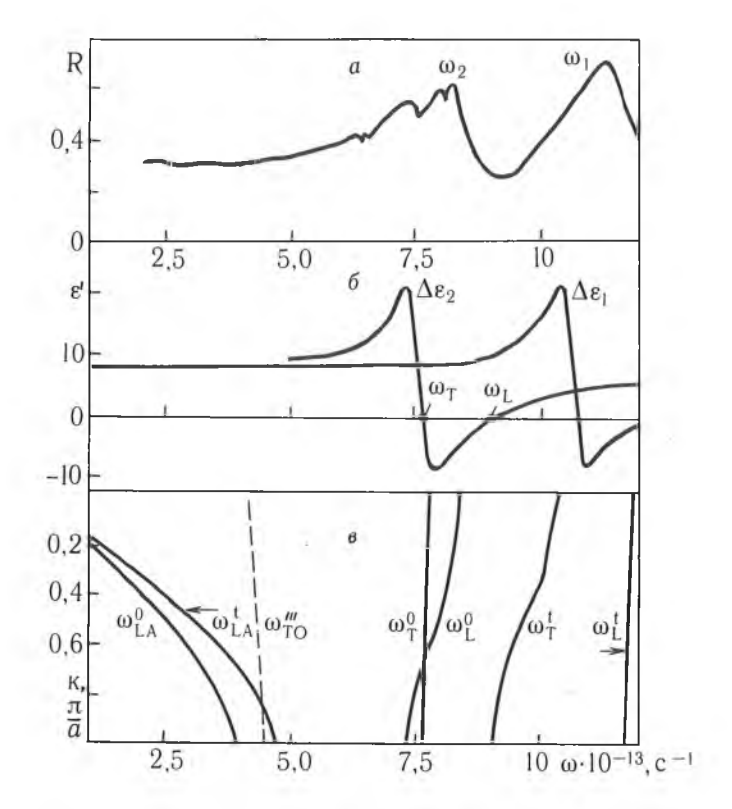
УДК 548.3:543.01

## м. и. данилькевич

## ЧАСТОТЫ ОПТИЧЕСКИХ ФОНОНОВ В КИСЛОРОДНЫХ ШПИНЕЛЯХ ПО СПЕКТРОСКОПИЧЕСКИМ И АКУСТИЧЕСКИМ ДАННЫМ

The calculation rule for the ratio of resonance vibrational frequencies of ions in spinels has been proposed. Dielectric spectra of  $Ni_{0.3}Zn_{0.7}Fe_2O_4$  have been determined in the region of lattice resonances and have been used as a basis for the curves of phonon dispersion.

В оптических спектрах кристаллов со структурой шпинели (MgAl<sub>2</sub>O<sub>4</sub>) в области резонансов решеточных колебаний наблюдается несколько характерных полос. Две наиболее интенсивные  $\omega_1$  и  $\omega_2$  (рисунок, a), впервые обнаруженные Уолдроном [1] по ИК поглощению в ферритахшпинелях, до сих пор не имеют однозначной интерпретации. Измеренные нами спектры коэффициента отражения  $R(\omega) \ Ni_{0.3}Zn_{0.7}Fe_2O_4$ , дополненные восстановленными из них диэлектрическими функциями  $\mathfrak{E}'(\omega)$ и  $\mathfrak{E}''(\omega)$  и данными о скоростях ультразвуковых воли, позволяют отнести  $\omega_1$  к резонансу колебаний ионов, связанных в тетраэдрах, а  $\omega_2$  — к резонансу колебаний ионов октаэдрической координации.



Спектр коэффициента отражения  $R(\omega)(a)$ , восстановленные из него спектры составляющей диэлектрической проницаемости  $\epsilon$ ' (б) и дисперсия фононов (b) тетраэдрических (t) и октаэдрических (o) ионов (A — акустические, O — оптические фононы).

Минимальная длина волны, связанная с колебаниями кристаллической решетки, равна удвоенному кратчайшему межатомному расстоянию. При этом ближайшие соседи данного атома смещаются в противофазе. Для значений волнового вектора | k | > 0 эти колебания представляют собой упругие волны [2]. Если предположить, что их скорость у равна ультразвуковой, то в кристаллах шпинелей для предельных частот решеточных колебаний получим следующие выражения:

$$\omega_{\rm T}^{\rm Terpa} = \frac{2\pi v_{\rm T}}{\lambda_{\rm min}^{\rm Terpa}} = \frac{\pi \sqrt{G/\rho}}{\left(\sqrt{3/8}\right)a}, \quad \omega_{\rm T}^{\rm okta} = \frac{2\pi v_{\rm T}}{\lambda_{\rm min}^{\rm okta}} = \frac{\pi \sqrt{G/\rho}}{a/4} \tag{1}$$

для поперечных (Т) колебаний и

$$\omega_{L}^{\text{Terpa}} = \frac{2\pi v_{L}}{\lambda_{\min}^{\text{Terpa}}} = \frac{\pi \sqrt{E/\rho}}{\left(\sqrt{3/8}\right) a}, \quad \omega_{L}^{\text{okra}} = \frac{2\pi v_{L}}{\lambda_{\min}^{\text{okra}}} = \frac{\pi \sqrt{E/\rho}}{a/4}$$
 (2)

для продольных (L) колебаний. Здесь G и E — упругие модули, а —

постоянная решетки, р — плотность кристалла.

Пля поликристаллической шпинели  $Ni_{0.3}Zn_{0.7}Fe_2O_4$  значения входящих в (1) и (2) констант, определенные нами экспериментально, а для G заимствованные из работы Гримса [3], составили  $G = 14,25 \cdot 10^{10}$  Па,  $E = 25,15 \cdot 10^{10}$  Па,  $a = 8,398 \cdot 10^{-8}$  см,  $\rho = 5,36$  г/см³. Тогда рассчитанные предельные частоты оптических фононов  $(k \rightarrow \pi/a)$  этой шпинели в последовательности, принятой в (1) и (2), составят

$$8,94 \cdot 10^{13} \ c^{-1}; \ 7,72 \cdot 10^{13} \ c^{-1}; \ 11,86 \cdot 10^{13} \ c^{-1}; \ 10,24 \cdot 10^{13} \ c^{-1}.$$

Частоты, определенные из максимумов и нулей диэлектрических функций (см. рисунок,  $\delta$ ) при  $k \rightarrow 0$ , равны соответственно

$$10,35 \cdot 10^{13} \text{ c}^{-1}$$
;  $7,74 \cdot 10^{13} \text{ c}^{-1}$ ;  $11,90 \cdot 10^{13} \text{ c}^{-1}$ ;  $8,42 \cdot 10^{13} \text{ c}^{-1}$ .

Диэлектрические спектры  $\Delta \varepsilon_i(\omega) + \varepsilon_{\infty}$  основных колебательных мод получены совмещением расчетного спектра

$$R(\omega) = |\sqrt{\epsilon^*(\omega)} - 1|^2 \cdot |\sqrt{\epsilon^*(\omega)} + 1|^{-2}$$

со спектром экспериментальным [4]. Для описания низкочастотной полосы  $\omega_2$  применялась трехосцилляторная модель (i = 3). Для дальнейших обсуждений использовано усредненное значение их частоты  $8,42\cdot 10^{13}$  с<sup>-1</sup>.

Экспериментальные значения характеристических частот обычно находят по минимумам пропускания или соответствующим им максимумам поглощения или отражения. В  $Ni_{0.3}Zn_{0.7}Fe_2O_4$  максимум высокочастотной полосы  $R(\omega)$  лежит при  $11,25\cdot 10^{13}$  с<sup>-1</sup>, а низкочастотной — при  $8,2\cdot 10^{13}$  с<sup>-1</sup>. В одноосцилляторной модели максимум решеточного отражения расположен посредине между  $\omega_T$  и  $\omega_L$  [5]. Поэтому полученные по (1) и (2) оценочные значения частот можно считать удовлетворительными и полосу  $\omega_1$  отнести к резонансу колебаний ионов, связанных в тетраэдрах, а  $\omega_2$  — к резонансу октаэдрически связанных ионов. Такое же отнесение полос  $\omega_1$  и  $\omega_2$  дается и в [6].

Согласно (1) и (2), резонансные частоты тетраэдрически связанных ионов и резонансные частоты октаэдрических ионов соотносятся как:

$$\omega_0^{\text{rerpa}}: \omega_0^{\text{okta}} = 2: \sqrt{3} \approx 1,16. \tag{3}$$

Сопоставление экспериментальных отношений  $\omega_{01}$  и  $\omega_{02}$  с соотношением (3) для ряда шпинелей приведено в таблице.

Шпинель	$\omega_{01}.10^{-13},$	$\omega_{02^{-10}}^{-13}$ ,	$\omega_{01}/\omega_{02}$	$2/\sqrt{3}$	Литератур- ный источ- ник по ω <sub>1</sub> , ω <sub>2</sub>
MgAl <sub>2</sub> O <sub>4</sub>	13,565	10,739	1,26	1,16	[7]
ZnAl <sub>2</sub> O <sub>4</sub>	12,999	10,833	1,20	1,16	[8]
ZnCo <sub>2</sub> O <sub>4</sub>	12,623	10,965	1,15	1,16	<b>-</b> «
ZnCr <sub>2</sub> O <sub>4</sub>	11,963	10,117	1,18	1,16	-«-
CoCo <sub>2</sub> O <sub>4</sub>	12,660	11,116	1,14	1,16	
ZnFe <sub>2</sub> O <sub>4</sub>	9,834	8,007	1,23	1,16	наши
CoFe <sub>2</sub> O <sub>4</sub>	10,531	7,687	1,37	1,37**	данные — «—
$Mn_{0,97}Zn_{0,03}Fe_2O^*_4$	11,220	7,586	1,46	1,40**	<b>-</b> *-
Ni <sub>0,3</sub> Zn <sub>0,7</sub> Fe <sub>2</sub> O <sub>4</sub>	11,250	8,200	1,37	1,39**	

П р и м е ч а н и е. \* — монокристалл, \*\* — вычислено с учетом кислородного параметра u < 3/8.

Кроме приведенных в таблице, можно указать около двух десятков других исследованных в инфракрасном диапазоне шпинелей, для которых отношение  $\omega_1/\omega_2$  совпадает с (3) с разницей не более 5 %. В ряду отношений  $\omega_1/\omega_2$  наблюдается хорошо выраженная тенденция увеличения отношения по мере перехода от слабомагнитных к сильномагнитным шпинелям. Для последних лучшее согласие с экспериментом получается в том случае, если соотношение (3) записать с учетом кислородного параметра u, выражающего статические смещения ионов кислорода от их позиций в идеальной плотной упаковке, и положить u < 3/8.

На величину отношения (3) может влиять также и тот факт, что смещения ионов, связанных в октаэдрической координации, происходят не только в направлениях <100>, а ионов тетраэдрической координации — <110>, как это было предположено при вычислениях  $\omega_{\rm T}$  и  $\omega_{\rm L}$ . При учете смещений в других направлениях, для которых упругие постоянные отличаются [7] от принятых в (1) и (2), диапазон отно-

шений  $\omega_0^{\text{тетра}}/\omega_0^{\text{окта}}$  расширится от 1,1 до 1,6 и перекроет все известные

экспериментальные данные.

Определив из спектров  $\Delta \mathcal{E}_i(\omega) + \epsilon$  значения предельных частот  $\omega_0(k{\to}0)$ , а по ним силовые постоянные C отдельно для тетраэдрических ионов СА и ионов октаэдрической координации СВ из соотношений

$$\omega_{\text{ot}}^{\text{Tetpa}} = \sqrt{2C_{A}\left(\begin{array}{c} \frac{1}{\overline{M}_{KA}} + \frac{1}{M_{O^{2-}}} \right)}, \quad \omega_{\text{ot}}^{\text{okta}} = \sqrt{2C_{B}\left(\begin{array}{c} \frac{1}{\overline{M}_{KB}} + \frac{1}{M_{O^{2-}}} \right)},$$

можно рассчитать дисперсию частот соответствующих оптических и акустических фононов в модели цепочки колеблющихся атомов с двумя атомами в примитивной ячейке

$$\omega_{i}^{2}(k) = \frac{C}{M_{1}M_{2}}[(M_{1} + M_{2})\pm\sqrt{(M_{1} + M_{2})^{2} - 2M_{1}M_{2}(1 - \cos ka)}].$$

Результаты расчета приведены на рисунке  $\varepsilon$ . Для продольных оптических фононов тетраэдрических ионов и поперечных фононов октаэдрически связанных ионов дисперсия получена интерполяцией между частотами  $\omega_0(k=0)$  и  $\omega_0(k=\pi/a)$ . Проверка правильности полученной картины дисперсии при отсутствии экспериментальных данных может быть сделана на основе теоремы Броута [9]. Она связывает суммы квадратов частот решеточных колебаний при заданном к и сжимаемость к кристалла. Для значений к на краях зоны Брюллюэна эта теорема или правило сумм запишется следующим образом:

$$\sum_{i} \omega_{0i}^{2} (k = 0) = \sum_{i} \omega_{0i}^{2} (k = \frac{\pi}{a}) = \frac{18R_{0}}{\kappa} (\frac{1}{M_{1}} + \frac{1}{M_{2}}).$$
 (4)

При использовании этого соотношения межионные расстояния  $R_0$  и массы катионов  $M_1$  мы усредняли по тетраэдрически- и октаэдрически связанным ионам. Для  $Ni_{0,3}Zn_{0,7}Fe_2O_4$ 

$$\kappa = (C_{12} + 2C_{44})^{-1} = 0.45 \cdot 10^{-12} \text{ cm}^2 \cdot \text{дин}^{-1}.$$

Согласно данным, представленным на рис. 1, в,

$$\sum_{i=1}^{4} \omega_{0i}^{2} \; (\; k=0 \;) = 379 \cdot 10^{26} \;\; c^{-2}, \quad \sum_{i=1}^{6} \omega_{0i}^{2} \; (\; k=\frac{\pi}{a} \;) = 375 \cdot 10^{26} \;\; c^{-2},$$

а правая часть (4) равна 396·10<sup>26</sup> с<sup>-2</sup>. Небольшое превышение рассчитанной по сжимаемости суммы квадратов частот над их значениями, взятыми из расчетного спектра дисперсии фононов, очевидно, связано с неучетом низкочастотных колебательных мод, представляющих обертона основных. Намеченная на рисунке в пунктиром частота, дополняющая основные до выполнения правила Броута, практически совпадает с обертоном  $\omega_3$ , предстказанным Уолдропом [1]. След этой полосы заметен и на спектре  $R(\omega)$ .

Доводом в пользу предложенного способа восстановления основных черт фононного спектра шпинели по диэлектрическому может служить то, что наблюдение фононов в шпинели методом неупругого рассеяния нейтронов [10] дает картину, близкую к рисунку в.

- 1. Waldron R. D. // Phys. Rev. 1955. V. 99. P. 1727.
  2. Слетер Дж. Диэлектрики, металлы, полупроводники. М., 1969.
  3. Grimes N. W. // Phys. Stat. Sol.(b). 1973. V. 58. K 129.
  4. Данилькевич М. И. // Тез. докл. Всесоюз. конференции по физике магнит. явлений. Харьков, 1979. С. 222.
  5. Пуле А., Атье Ж.—П. Колебательные спектры и симметрия кристаллов.
- M., 1973.
- 6. Josyulu O. S., Sobhanardi J. // Phys. stat. sol.(a). 1981. V. 65.
- 7. Grimes N. W. // Spectrochim. acta. 1972. V. 28. № 11. P.2217. 8. Preudhomme J., Tarte P. // Ibid. 1971. V. 27A. № 9. P. 1817. 9. Brout R. // Phys. Rev. 1959. V. 113. № 1. P. 43. 10. Thompson P., Grimes N. W. // Sol. stat. com. 1978. V. 25. № 8. P.609.

Поступила в редакцию 11.04.94